



ESTUDIOS SOBRE PUENTES DE MADERA

CON UN ENSAYO PRÉVIO
DE CLASIFICACION DE LAS CARGAS RODANTES
PARA LAS VÍAS CARRETERAS DE CHILE



INTRODUCCION

1.—Los puentes de madera se emplean con tanta frecuencia en Chile para el pasaje de las vías carreteras, que merece un estudio especial el exámen comparativo de los diferentes sistemas empleados. Nuestro propósito en la presente Memoria es el siguiente: 1.º, estudiar varios tipos de puentes para las luces mas usuales; 2.º, determinar las cantidades de materiales necesarias para su construccion; 3.º, establecer en qué condiciones habrá ventaja en pasar de un sistema a otro, i llegar así a formar una série de obras-tipos que sean las mas económicas en cada uno de los casos mas comunes de la práctica. Para que semejante estudio pueda servir de base a una clasificacion séria, es indispensable aplicar a cada sistema un cálculo exacto i colocar todos los tipos en las mismas condiciones de carga.

2. *De los cálculos.*—Para los *tramos de pequeña magnitud*, que son, por cierto, los mas numerosos en Chile, los métodos de cálculo que conviene aplicar son mui poco conocidos. Esto sucede principalmente para las vigas con torna-puntas, con

o sin vigas-sopandas; i de una manera jeneral para todos los puentes cuyas dimensiones deberian calcularse tomando en cuenta las deformaciones elásticas del sistema. En los mejores autores solo se encuentran datos mui escasos en lo que se refiere a la determinacion de las dimensiones de estas piezas. Resulta que por lo jeneral se calculan estas obras aplicando métodos aproximativos que se alejan mucho de la realidad. Será pues útil esponer con algun detalle los métodos exactos de cálculos del caso i aplicarlos a una série de ejemplos relativos a los casos mas usuales de la práctica. Ademas nos detendremos en calcular las mismas obras por medio de los diferentes métodos aproximativos que se usan, i el exámen comparativo de los resultados obtenidos nos dará el valor práctico de estas soluciones mas o ménos aproximativas. Tendremos ocasion, en esta parte de nuestra Memoria, de hacer numerosas aplicaciones de la Grafostática, que entra, felizmente, a simplificar las indagaciones laboriosas i consigue soluciones elegantes de los problemas.

3.—Para las *vigas-barandas*, al contrario, seguiremos un método analítico. Las dimensiones de las piezas se determinan por medio de los momentos de flexion i de los esfuerzos de corte máximos, entrando los primeros en el cálculo de las cabezas, i los otros en el de los montantes i de las diagonales. Ademas, es sabido que se componen los esfuerzos debidos al peso muerto, ya sea con los de la carga rodante, ya sea con los de la sobrecarga uniforme, teniendo cuidado de emplear en cada caso la hipótesis mas desfavorable. Es cierto que se podría, por cada proyecto, trazar el lugar de los momentos i el de los esfuerzos de corte máximos que corresponden a cada uno de los dos modos de sobrecarga, i comparar en seguida los resultados. Pero seria un procedimiento mui laborioso. Ademas, no estando combinadas las diferentes operaciones, la indagacion de la sobrecarga mas desfavorable seria un trabajo que habría que volver a hacer para cada proyecto. Se simplifica mucho el trabajo trasformando las cargas rodantes en cargas uniformes que tengan el mismo efecto, i entónces una simple inspeccion de los cuadros de las cargas basta para conocer el estado de sollicitacion mas desfavorable.

4. *De las cargas.*—En Europa las cargas-tipos son objeto de una ordenanza, i todos los puentes deben calcularse con arreglo a las prescripciones ministeriales. En Bélgica, la carreta de prueba tiene un peso de 18 toneladas i descansa sobre dos ejes. En Francia, las cargas rodantes tienen 16, 11, 8, o 6 toneladas, segun el caso. En Austria, las cargas-tipos se dividen en tres clases, correspondiendo las carretas de 12, 6 i 3 toneladas con caballos de 750 kilogramos de peso.

Hasta ahora no se ha adoptado en Chile ninguna clasificacion semejante. El peso de las carretas de prueba, la distancia entre las ruedas i entre los ejes, la composicion i el peso de las yuntas, son otros tantos puntos que se abandonan al juicio del ingeniero encargado de un proyecto de puente. Resulta una variedad inadmisibile de cargas que trae por consecuencia grandes anomalías en el conjunto de los proyectos sometidos al Consejo Superior de Obras Públicas. Seria, pues, útil clasificar los puentes en varias categorías, segun la naturaleza del tráfico a que tendrán que resistir.

Hé aquí un proyecto de clasificacion de las cargas rodantes, completado a continuacion con un estudio sobre la trasformacion de estas cargas en cargas uniformes equivalentes.

CAPÍTULO PRIMERO

De las cargas rodantes

§ 1.—DE LA CLASIFICACION DE LAS CARGAS RODANTES

5. *Cargas rodantes-tipos.*—La lámina primera da el detalle de una série de cargas rodantes-tipos que podrian servir de base para una clasificacion metódica. Las carretas son cinco, i tienen la composicion siguiente:

1.º *Carreta de 16 toneladas*, sobre dos ejes, cargados respec-

tivamente con 10 i 6 toneladas, i distantes de 3 metros; con dos metros de distancia entre las ruedas, i uncida con cuatro yuntas de bueyes de 800 kilogramos cada uno, sobre una longitud de 12 metros.

2.º *Carreta de 11 toneladas*, sobre un solo eje, uncida con cuatro yuntas de bueyes como en el caso anterior.

3.º *Carreta de 8 toneladas*, sobre un solo eje, uncida con tres yuntas de bueyes.

4.º *Carreta de 6 toneladas*, sobre un solo eje, uncida con tres yuntas de bueyes, como en el caso anterior.

5.º *Carreta de 3 toneladas*, sobre un solo eje, uncida con dos yuntas de bueyes.

En todos estos casos, la distancia de las ruedas es de 2 metros de eje a eje, i la longitud de cada yunta de bueyes es de 3 metros.

6. *Cargas usuales*.—Diremos sin mas tardar que, a nuestro parecer, las cargas de 16 toneladas i aun las de 11 toneladas son exajeradas. El estado de la mayor parte de los caminos de Chile no permitiria la circulacion de vehículos tan pesados. Sin embargo los hemos introducido en este estudio para que no haya necesidad de hacer una nueva clasificacion cuando el mejoramiento de los caminos i el desarrollo de la industria nacional hayan traído como con secuencia el aumento del peso de las cargas rodantes. Además, es evidente que para el cálculo de los puentes definitivos que han de construirse en los grandes centros de poblacion, será necesario emplear cargas rodantes mas grandes que para los puentes ordinarios.

Con todo, las cargas mas usuales i las que convienen en la mayor parte de los casos de la práctica, son las de 8 i 6 toneladas.

En Santiago, i en muchas localidades del pais, se encuentran carretas con 100 quintales españoles de carga con frecuencia, i sucede a veces que la carga pasa de este límite.

Tomamos 30 quintales como peso de la carreta. Resulta que la carga que trafica con frecuencia en los caminos es de 130 quintales, es decir $130 \times 46^k = 5980$ kgs., o sea 6 toneladas. En vista de los casos excepcionales, i conforme a lo que se hace jeneralmente, será necesario calcular estos puentes con cargas

mayores. No habrá, pues, ninguna exajeracion en adoptar para esta categoría de puentes cargas de 8 toneladas.

Sin embargo, para los caminos del campo, las cargas de 100 quintales son jeneralmente exajeradas; i en este caso, se calcularán los puentes con cargas de 6 toneladas. A veces, bastará adoptar una carga de 3 toneladas para puentes esencialmente provisionales o destinados a caminos en comarca montañosa.

7. *De las yuntas.*—En lo que se refiere a las yuntas, no hemos admitido 800 kilogramos como peso de un buei, sino para colocarnos en las condiciones mas desfavorables. Ademas, no nos alejamos mucho de las prescripciones austriacas que admiten 750 kilogramos como peso de un caballo.

De lo que precede podemos deducir que las cargas que satisfacen las necesidades actuales de Chile son las de 8 i 6 toneladas. Para los estudios que forman la segunda parte de esta Memoria, hemos aplicado la carga de 8 toneladas.

§ 2.—DE LA TRASFORMACION DE LAS CARGAS RODANTES EN CARGAS UNIFORMEMENTE REPARTIDAS EQUIVALENTES

8. *Errores que resultan de la adopción de una sola sobre carga.*
—Hemos señalado (núm. 3) las ventajas de la sustitucion de las cargas rodantes por cargas uniformes equivalentes. Para los puentes de ferrocarriles esta trasformacion es mui usual. Se emplea ménos para los puentes carreteros. Antiguamente, no se determinaba mas que la carga uniforme que da el mismo momento máximo que la carga rodante en el medio del puente, i se empleaba esta carga uniforme para determinar todos los momentos de flexion i esfuerzos de corte máximos. De este modo de operar, resultaban errores mui grandes, ménos para los momentos, pero seguramente para los esfuerzos de corte. Con mayor razon se cometerian errores considerables aplicando este procedimiento a los puentes carreteros; pues en este caso, la carga consta de una carreta mui pesada en comparacion del peso de las yuntas, de suerte que hai desproporcion completa en la reparticion de las cargas. Resulta que la adopcion de una

sola sobrecarga uniforme para todos los casos no puede ménos de dar resultados que se alejan mucho de la realidad.

Bastará citar un solo ejemplo para demostrar claramente este hecho. Supongamos que para un puente de 18 metros de luz, se trate de determinar el esfuerzo de corte en la seccion S S a 12 metros del extremo izquierdo (Lámina II, fig. 3). Admitamos, a priori, las cargas uniformes del cuadro número 16. Demostremos a continuacion que el esfuerzo de corte en S S, que corresponde a una sobrecarga uniforme que cubriese el puente desde el extremo izquierdo hasta S S, es decir en una longitud l' , tiene por valor

$$K = \frac{1/2 p l'^2}{l}$$

siendo l la longitud del tramo.

Si calculamos el esfuerzo de corte por medio de la carga uniforme que corresponde al momento máximo de la mitad del tramo, tendremos

$$p = 1,148 \text{ Kgs.}$$

En realidad, la carga uniforme que desarrolla en S S el mismo esfuerzo de corte máximo que la carga rodante, estando la pieza sobrecargada en 12 metros de longitud, es:

$$p = 1,718 \text{ Kgs.}$$

El error relativo será

$$\frac{1,148 - 1,718}{1,718} = -33,1, p\%$$

quedando el esfuerzo de corte deficiente en 33,1 $p\%$.

El ejemplo que acabamos de citar lo hemos tomado entre todos, i se podrian citar muchos casos con errores mas grandes. Por eso es indispensable calcular las cargas uniformes equivalentes a las cargas aisladas, no solamente para los momentos sino que tambien para los esfuerzos de corte.

9. *De las varias cargas uniformes que hai que calcular.* —

En lo que se refiere a los momentos, bastará, para los puentes de madera, calcular la carga uniforme que corresponde al momento máximo de la mitad del tramo. De esta carga se deducirá la seccion de las cabezas que es invariable en toda la longitud del puente. Sin embargo, para los puentes de fierro, cuyas cabezas, de seccion variable, deben equilibrar en cada punto al momento de flexion máximo, parece oportuno examinar si la carga uniforme deducida del momento máximo en el punto medio del tramo, da en todos los demas puntos del puente un momento comparable con el momento máximo debido a la verdadera carga rodante. Este estudio no tiene mucha importancia, ni en los extremos del puente, adonde las secciones quedan siempre exajeradas, ni en los puntos vecinos del centro, pues ahí existe la misma seccion en la longitud de uno o dos paños. Pero dicho estudio tendrá algun interes para puntos intermedios. Conforme con lo que hizo el señor De Leber para los puentes de ferrocarriles (*), determinaremos la carga uniforme queda el mismo momento máximo que la carga rodante a $\frac{1}{6}$ de la luz.

Por fin, como se verá, no adoptamos para los esfuerzos de corte una misma carga en todos los nudos, sino una carga especial para cada uno. El conjunto de nuestro trabajo tendrá, pues, como resultado adoptar una serie de cargas uniformes, cuyo efecto sea la reproduccion, para cada pieza de la construccion, del verdadero estado de sollicitacion mas desfavorable.

10. *Cargas uniformes equivalentes para los momentos en la mitad del tramo.*

Sean (Lám. II, fig. I):

P'_n . . . las fuerzas aisladas a la derecha de la mitad C .

P''_n . . . las fuerzas aisladas a la izquierda de la mitad,

a'_n . . . las distancias desde las fuerzas P'_n . . . hasta la mitad

a''_n . . . las distancias desde las fuerzas P''_n . . . hasta la mitad

a , la mitad del tramo.

Consideremos dos fuerzas P'_n i P''_n . La reaccion de estas fuerzas sobre el apoyo B será:

(*) M. de Leber et C. Bricka, *Calculs des Ponts Métalliques*.

$$R_B' = P'_n \frac{a+a'_n}{2a} + P''_n \frac{a-a''_n}{2a} =$$

$$= \frac{1}{2}(P'_n + P''_n) + \frac{1}{2a}(P'_n a'_n - P''_n a''_n)$$

El momento de estas fuerzas P'_n i P''_n en la mitad C tendrá por espresion:

$$M_c = \frac{1}{2}(P'_n + P''_n)a + \frac{1}{2}(P'_n a'_n - P''_n a''_n) - P'_n a'_n =$$

$$\frac{1}{2}(P'_n + P''_n)a - \frac{1}{2}(P'_n a'_n + P''_n a''_n)$$

Sea p la carga uniforme que cubriendo todo el tramo daría en el punto C el mismo momento máximo que las fuerzas aisladas. Tendremos

$$M_c = \frac{1}{8} p (2a)^2 = \frac{1}{2} p a^2$$

I, por consiguiente,

$$\frac{1}{2} p a^2 = \frac{1}{2}(P'_n + P''_n)a - \frac{1}{2}(P'_n a'_n + P''_n a''_n)$$

El valor de p será:

$$p = \frac{1}{a} \left\{ (P'_n + P''_n) - \frac{1}{a}(P'_n a'_n + P''_n a''_n) \right\}$$

o de una manera jeneral, en el caso de una serie de fuerzas P_n ,

$$p = \frac{1}{a} \left\{ \sum P_n - \frac{\sum P_n a_n}{a} \right\}. \quad (1)$$

Esta es la fórmula de que nos serviremos para determinar los valores de p . Tratándose de cargas rodantes, el momento máximo en el punto medio del tramo se produce cuando el eje mas pesado pasa en ese punto. Por eso colocamos siempre la carga de tal manera que el eje mas pesado en el caso de la carreta de 16 toneladas, o el único eje en los demas casos co-

responda al punto medio del tramo (*). Además, hemos introducido las fuerzas aisladas que provienen de las juntas, i cuando la longitud del puente lo permite, consideramos una fila de carretas semejantes que caminan una detrás de la otra.

Los cuadros núm. 1 a núm. 5 se refieren a este caso. Encabezamos cada uno con el estado de sollicitacion mas desfavorable, distinguiendo el punto medio del tramo con un signo especial +.

Damos igualmente el detalle de las operaciones en nuestro modo de proceder. Partimos de un tramo de longitud nula; aumentamos sucesivamente la longitud, procurando siempre dejar la carga mas pesada en la mitad, i calculamos el nuevo valor de p que debe intervenir cada vez que una nueva fuerza llega sobre el puente. Como las operaciones se han hecho con la mitad de las cargas rodantes, las cargas uniformes p se refieren al metro corrido de viga.

II. *Cargas uniformes equivalentes para los momentos a $\frac{1}{6}$ de la luz.*

Sean (Lam. II, fig. 2):

$P'_n \dots$ las fuerzas aisladas a la derecha del punto C , situado a $\frac{1}{6}$ del tramo.

$P''_n \dots$ las fuerzas aisladas a la izquierda de C .

$a'_n \dots$ las distancias desde las fuerzas $P'_n \dots$ hasta el punto C .

$a''_n \dots$ las distancia desde las fuerzas $P''_n \dots$ hasta C .

a , la longitud de medio tramo.

Considerando siempre dos fuerzas P'_n i P''_n , la reaccion en B será:

$$R_B = \frac{1}{2a} P'_n \left(\frac{5}{6} 2a + a'_n \right) + P''_n \left(\frac{5}{6} 2a - a''_n \right) =$$

$$\frac{5}{6} (P'_n + P''_n) + \frac{1}{2a} (P'_n a_n - P''_n a''_n)$$

(*) Rigorosamente, en el caso de dos ejes bastante próximos uno de otro, el momento máximo se desarrolla sobre la mayor de las fuerzas al instante en que el centro de gravedad del conjunto i dicha fuerza se encuentran a igual distancia del punto medio del tramo. En los casos usuales, el error cometido, poniendo el eje mas pesado en la mitad del tramo, no es mui grande. Con la carreta de 16 toneladas, i para un tramo de 14 metros, el error solo es de 2 por ciento.

El momento en C debido a estas fuerzas será:

$$M_c = \frac{5}{6}(P'_n + P''_n) \times \frac{1}{6} 2a + \frac{1}{6}(P'_n a'_n - P''_n a''_n) - P'_n a'_n = \\ \frac{1}{6} \frac{5}{6}(P'_n + P''_n) 2a - \frac{1}{6}(5P'_n a'_n + P''_n a''_n)$$

Llamemos p'' la carga uniforme que cubriendo todo el puente origina en $\frac{1}{6}$ del tramo el mismo momento que las fuerzas aisladas. Tendremos:

$$M_c = \frac{1}{2} p'' (2a)^2 \times \frac{1}{6} \times \frac{5}{6}$$

La ecuacion de condicion de la cual se deduce p'' sera, pues:

$$\frac{1}{2} \frac{1}{6} \frac{5}{6} p'' \times 4a^2 = \frac{1}{6} \frac{5}{6} (P'_n + P''_n) 2a - \frac{1}{6} (5P'_n a'_n + P''_n a''_n)$$

Resultando

$$p'' = \frac{1}{a} \left\{ (P'_n + P''_n) - \frac{6}{10} \frac{1}{a} (5P'_n a'_n + P''_n a''_n) \right\}$$

i de una manera jeneral, tendremos

$$p'' = \frac{1}{a} \left\{ \leq P_n - \frac{6}{10} \frac{1}{a} (5 \leq P'_n a'_n + \leq P''_n a''_n) \right\} \quad (2)$$

Con motivo de la diferencia tan grande que hai entre el peso de los ejes i el de las yuntas, los momentos máximos a $\frac{1}{6}$ del tramo continuarán desarrollándose ahí cuando el eje mas pesado o el eje único se encuentra en dicho punto. El estado de sollicitacion mas desfavorable se conoce, pues, inmediatamente. En el caso de puentes para ferrocarriles el tren de prueba está formado de una série de ejes del mismo peso mui poco distantes unos de otros, i en este caso es necesario operar por tanteos sucesivos.

Los cuadros números 6 a número 10 se refieren al caso que nos ocupa. Hemos indicado con el signo + la carga que se

encuentra a $\frac{1}{6}$ del tramo desde el apoyo de la derecha. Como en el caso anterior, hemos calculado los valores de p'' cada vez que una nueva fuerza aparece sobre el tramo, aumentando sucesivamente la longitud de éste. La situación de las yuntas respecto a la carreta es la que para un tramo dado permite colocar el mayor número de fuerzas sobre el puente. A este estado de sollicitacion corresponde la hipótesis mas desfavorable. No diremos nada de la composicion de los cuadros que reproducen los términos de la ecuacion en p'' . Un exámen un poco detenido da cuenta de la marcha de las operaciones. La columna 10 contiene las cargas uniformes p'' por metro corrido de viga que corresponde a los tramos indicados en la columna 1, i que dan el mismo momento máximo que la carga rodante a $\frac{1}{6}$ de la luz.

12. *Cargas uniformes equivalentes a los esfuerzos de corte.*— Para los esfuerzos de corte se admite, jeneralmente, una sola sobrecarga uniforme que depende de la longitud del puente. Esta carga suele ser la que da el mismo momento máximo en el punto medio del tramo; otras veces es la que da el mismo esfuerzo de corte en el apoyo, que la carga rodante.

Hemos demostrado ya los grandes errores que resultan del primer procedimiento. Del segundo método pueden resultar tambien errores notables para los nudos intermedios. He aquí un ejemplo. Consideremos otra vez el caso anterior que se refiere a un tramo de 18 metros cargado en 12 metros. Veremos luego que en el caso de un puente de longitud l cargado sobre una longitud l' con una carga uniforme p' , el esfuerzo de corte a la distancia l'' tiene por valor

$$k = \frac{1/2 p' l'^2}{l}$$

Admitiendo por ahora sin explicar los resultados del cuadro número 16, vemos que la carga uniforme que corresponde al esfuerzo de corte real para una longitud sobrecargada de 12 metros, con una carreta de 8 toneladas, es

$$p' = 1,718 \text{ kgs.}$$

La carga uniforme que correspondería al esfuerzo de corte sobre el apoyo, es decir, para $l' = 18^m$, es

$$p' = 1,395 \text{ kgs.}$$

El error relativo que se comete sirviéndose de este último valor, será:

$$\frac{1,395 - 1,718}{1,718} = -18,8 p \%$$

Los esfuerzos de corte obtenidos en este caso son, pues, muy deficientes. Además, ese ejemplo, tomado entre muchos, no da de ninguna manera el error máximo, el cual es mucho más importante.

El objeto que es preciso conseguir es encontrar las cargas uniformes que dan los mismos esfuerzos de corte máximos que las cargas rodantes en cada nudo. Esta investigación que parece muy laboriosa a primera vista y variable al infinito, según la posición relativa de la sobrecarga respecto a la longitud del tramo, se simplifica mucho merced al teorema siguiente:

“La carga uniforme p' que equivale a un sistema de cargas aisladas, en cuanto al esfuerzo de corte en una sección SS de un puente de cualquiera longitud que sea, no depende sino de la longitud l' sobrecargada, comprendida entre la sección SS y uno u otro de los apoyos, según el sentido del esfuerzo.”

La demostración de este principio es muy sencilla. En el caso de una pieza sobre dos apoyos, el esfuerzo de corte máximo en SS se produce cuando se descubre toda la parte CB . (Lam. II, figura 3.) No tenemos, pues, que ocuparnos sino de las fuerzas P_n colocadas entre A y C .

Sea $AC = l'$ $DC = l_n$

El esfuerzo de corte en SS producido por P_n tiene por expresión

$$P_n \frac{l' - l_n}{l}$$

Y la expresión general del esfuerzo de corte máximo en SS será:

$$K_{\max} = \frac{l' - l_n}{l} P_n$$

Sea p' la carga uniforme que da el mismo K_{\max} , i cubriendo el puente desde A hasta C , tendremos:

$$K_{\max} = \frac{1/2 p' l'^2}{l}$$

Por consiguiente

$$\frac{1/2 p' l'^2}{l} = \leq \frac{l' - l_n}{l} P_n$$

Resultando

$$p' = \frac{2}{l'} \left\{ \leq P_n - \leq \frac{l_n P_n}{l'} \right\}$$

espresion independiente de la lonjitud l del tramo i solamente funcion del tren de carga i de la lonjitud sobrecargada.

Conviene notar que en el caso de estar el puente enteramente cargado, tenemos $l' = l$, i la fórmula será:

$$p' = \frac{2}{l} \left\{ \leq P_n - \leq \frac{l_n P_n}{l} \right\} \quad (3)$$

El caso de las sobrecargas parciales, se deduce, pues, de las sobrecargas totales sustituyendo a la lonjitud del tramo la absisa de la seccion que se considere.

La disposicion mas desfavorable para el esfuerzo de corte se produce cuando la carga mas pesada se encuentra en la cabeza del tren. Los cuadros núms. 11 a 15 dan las disposiciones mas desfavorables para las cargas rodantes. Los valores de p' se han calculado por la fórmula (3). El solo exámen de los cuadros muestra la marcha que hemos seguido, que es análoga a la de los casos anteriores. Las cargas p' de la columna 6 darán, pues, los mismos esfuerzos de corte que la carga rodante para la lonjitud sobrecargada l' correspondiente, indicada en la columna 1, cualquiera que sea la lonjitud del tramo.

13. *De los momentos jiratorios.* — El esfuerzo de corte máximo que corresponde a una carga uniforme p' i una lonjitud sobrecargada l' , tiene por expresion

$$K = \frac{1/2 p' l'^2}{l}$$

Como a cada valor de l' corresponde un solo valor de p' para cada sobrecarga, será útil calcular a priori la espresion

$$\frac{1}{2} p' l'^2$$

que llamaremos "momento jiratorio".

El cuadro núm. 17 contiene los valores de estos momentos para varios valores de p' , tomados de metro en metro, desde 4 hasta 20 metros, i de 5 en 5 metros, desde 20 hasta 50 metros de luz si es necesario; habiéndose hecho los mismos cálculos para los cinco trenes de cargas que hemos estudiado. Bastará, pues, dividir el valor correspondiente del momento jiratorio por la lonjitud del tramo, para conocer inmediatamente el valor del esfuerzo de corte máximo en cualquier punto del tramo distante de l' del apoyo izquierdo.

14. *Cuadro gráfico de las cargas uniformes equivalente a las cargas rodantes.*—Para mostrar claramente la lei de variacion de las diferentes cargas uniformes i abarcar de un golpe de vista el conjunto de los resultados, hemos trazado el cuadro gráfico: 1.º, de las cargas por metro corrido de puente que se refieren a los momentos máximos en el punto medio i $\frac{1}{6}$ del tramo; 2.º, de los esfuerzos de corte.

Para cada tren de carga, tenemos, pues, tres curvas (Lám. I), i cada clase de curva se ha indicado con un trazo especial para distinguirlas unas de otras. Por otra parte, las diferentes curvas que se refieren a un mismo tren se indican por la característica de los puntos calculados en los cuadros núms. 1 hasta 15. Fijándose en las leyendas de la Lámina. I se comprenderá, pues, fácilmente la significacion de las quince curvas que hemos trazado.

15. *Discussion.*—La curva que se refiere a los momentos a $\frac{1}{6}$ del tramo, queda casi siempre comprendida entre la curva relativa a los momentos en el punto medio i la relativa a los esfuerzos de corte. Tenemos que compararla con la curva de los momentos en el punto medio del tramo.

Para la carga de 16 toneladas i los tramos usuales de 13 a 25 metros, la diferencia relativa es de 6 a 7 por ciento mas o ménos. Para tramos menores que 13 metros, la diferencia es mu-

cho mas grande i alcanza a 20 por ciento. El hecho no tiene importancia práctica, porque para estos tramos las vigas aunque sean metálicas llevan un exceso de materia afuera de la seccion media. Parà tramos que pasan de 25 metros, el error relativo aumenta rápidamente, i para 37 metros de luz la diferencia vuelve a ser de 20 por ciento mas o ménos. Pero en este caso, tambien el hecho es sin importancia, pues veremos luego que desde 27 metros, para cargas de 16 toneladas, la carga uniforme que proviene del agrupamiento de personas o animales da un estado de sollicitacion mas desfavorable.

Se veria de la misma manera que para las carretas de 11, 8 i 6 toneladas la diferencia media no pasa de 6 a 7 por ciento para la parte útil de la curva, es decir, para la cual las cargas rodantes dan esfuerzos mayores que la carga uniformemente repartida que proviene de un agrupamiento de personas. Para la carreta de 3 toneladas, la diferencia relativa es bastante considerable; pero, como por una parte la carga uniforme da resultados mas desfavorables, i como por otra parte, no se calcularán nunca puentes metálicos con una carga tan reducida, el hecho pierde todo interes.

Vemos, pues, que en la práctica *es inútil tomar en cuenta los momentos a $\frac{1}{6}$ del tramo.*

En lo que se refiere a las diferencias entre las curvas de las cargas uniformes correspondientes al punto medio del tramo i a los esfuerzos de corte sobre los apoyos, se ve que tienen mucha importancia. Es mui raro que la diferencia para un tramo dado quede inferior a 10 por ciento, i mui a menudo alcanza a 30 por ciento. Ademas, cuando se compara la carga uniforme completa que se refiere al momento máximo en el punto medio del tramo con la carga incompleta que se refiere al esfuerzo de corte máximo en un punto intermedio, las diferencias son mucho mas considerables i pueden alcanzar a 50 por ciento en la parte *útil* de las curvas. Esto dice de sobra que los resultados no son comparables i que seria un absurdo aplicar las mismas cargas uniformes para el cálculo de los momentos i para el de los esfuerzos de corte.

En resúmen, vemos que serán de un uso corriente las cargas uniformes relativas a los momentos en el punto medio del tra-

mo, i a los esfuerzos de corte máximo, mientras que no utilizaremos las cargas relativas a los momentos a $\frac{1}{6}$ del tramo.

16. *Tablas de las cargas uniformes.*—Por este motivo, por medio de los valores de p i p' , indicados en los cuadros núms. 1 hasta 15, hemos compuesto las tablas de las cargas uniformes por metro corrido de puente, que corresponden a los momentos máximos en el punto medio de los tramos i a los esfuerzos de corte máximos. Desde 4 hasta 20 metros estos valores han sido calculados de metro en metro. Desde 20 hasta 50 metros, los hemos calculado de 5 en 5 metros. Los resultados han sido obtenidos interpolando segun una recta. El cuadro núm. 16 contiene estas cargas uniformes para las cinco carretas-tipos que hemos indicado. Cuando estudiemos las vigas-barandas, tendremos ocasion de hacer numerosas aplicaciones de estas tablas.

17. *Comparacion de la carga rodante con la carga uniforme que proviene de un agrupamiento de personas.*—Por medio de este cuadro, será fácil comparar el efecto de la carga rodante con el de la carga uniforme relativa a un agrupamiento de personas o animales. En Europa se avalúa jeneralmente esta carga en 400 kilogramos por metro cuadrado. En Austria se admiten 460, 400 o 340 kilogramos segun la naturaleza del tráfico. En Chile seria poco prudente tomar una carga uniforme inferior a 400 kgs. por metro cuadrado, pues todos los puentes tienen que soportar el tráfico de rebaños de animales que son arrojados sobre el puente por masas compactas, principalmente en la época de los rodeos. Será, pues, necesario contar en todos los casos con una carga uniforme de 400 kgs. por metro cuadrado. Por otra parte, indicaremos luego que la estension ocupada por una carreta puede avaluarse en 3 m. 15. Como es necesario dejar un espacio libre cerca de ámbos extremos del eje, puede estimarse en 3 m. 50 el ancho necesario para el pasaje de una carreta. Habrá, pues, que comparar las cargas rodantes con una carga uniforme de 3 metros 50 centímetros \times 400 kgs. = 1,400 kgs. por metro corrido de puente.

Síguese desde luego que segun que las cargas uniformes debidas a las cargas rodantes serán inferiores o superiores a 1,400 kilogramos por metro corrido de puente, habrá que emplear la sobrecarga uniforme de 400 kgs. por metro cuadrado, o la que

corresponda a las cargas rodantes, i en este caso habrá que agregar a ésta las sobrecargas laterales de 400 kgs. por metro cuadrado, que a veces se reduce a 300 kgs. por metro cuadrado.

Hemos calculado las luces desde las cuales los efectos de la sobrecarga de 400 kgs. por metro cuadrado son mas importantes que los de la carreta. Estas lonjitudes fijan los límites a partir de los cuales habrá que abandonar en los cálculos las cargas rodantes para hacer uso de las cargas uniformes de 400 kgs. por metro cuadrado.

He aquí el resultado de estos cálculos:

LONJITUD DE LOS TRAMOS

| Peso de la carreta | Momentos de flexion | Esfuerzos de Corte |
|--------------------|---------------------|--------------------|
| 1 Toneladas | 2 Metros | 3 Metros |
| 16 | 27,01 | 52,70 |
| 11 | 18,80 | 27,92 |
| 8 | 13,11 | 17,74 |
| 6 | 9,71 | 11,95 |
| 3 | 4,33 | 5,31 |

Para lonjitudes mayores que las indicadas en las columnas 2 i 3, la carga uniforme de 400 kilogramos por metro cuadrado es mas desfavorable que la carga rodante.

§ 3.—DE LAS DIMENSIONES TRASVERSALES DE LAS CARRETAS DE PRUEBA I DE LOS PUENTES

18. *De la carreta.*—Hasta ahora, solo nos hemos ocupado de la importancia de las cargas i del perfil lonjitudinal del tren de prueba. Con el objeto de determinar el ancho de la vía carretera i la distancia mínima entre barandas, tenemos que fijarnos en las dimensiones trasversales de las carretas. La figura 4 de la Lámina II da el croquis de una carreta cuyas dimensiones fueron tomadas en Santiago. La distancia entre

los planos exteriores de las ruedas es de 2,25 metros. La parte del eje que sale fuera de la rueda tiene 0,45 metros de longitud.

19. *Ancho de la vía carretera.*—Es indispensable dar a la vía carretera un exceso de ancho para que las carretas tengan un acceso fácil al puente. Bajo este punto de vista una anchura de 3 metros basta rigurosamente. Sin embargo, es muy raro que se adopte esta dimension. A veces se admiten 3.20 metros, i aun con este ancho se producen reclamos. Por eso, la vía carretera es jeneralmente de 3.80 metros.

20. *Ancho mínimo entre las barandas.*—Este ancho mínimo debe determinarse por la condicion de que entre la estremidad del eje, para una carreta que camina segun el eje del puente, i la baranda quede un espacio libre suficiente para que un hombre pueda guarecerse; o para que el extremo del eje no toque la baranda, cuando la rueda se apoya contra el guardarueda. Para conseguir este doble fin, es necesario dejar un ancho libre de 4.20 metros (Lám. II, fig. 4) al interior de las barandas. Éste es, por consiguiente, el ancho mínimo que conviene dar a los puentes.

En muchos casos este ancho no basta. Cuando el puente es bastante largo, es necesario que la carreta pueda cruzar con un hombre a caballo o un animal por cada lado. En este caso no está de mas una distancia libre de 5 metros entre las vigas. Esta es una dimension empleada con frecuencia.

Para los puentes del campo, se trata jeneralmente de suprimir los andenes, limitándose el constructor a poner dos guardaruedas que deslindan la vía carretera. Como hai poca jente de a pie, i para cruzar una carreta con un jinete, el anden seria mas bien un impedimento, es muy natural que se le suprima.

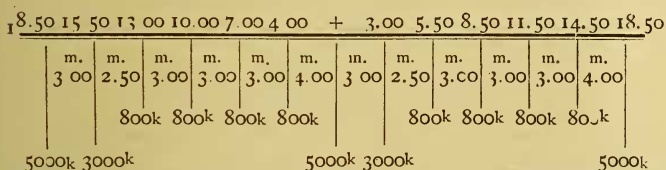
21. *Ancho mínimo para los puentes de doble vía.*—No terminaremos este capítulo sin indicar el ancho que nos parece convenir para los puentes de doble vía. La figura 5 de la Lámina II indica la posición relativa de dos carretas que se cruzan. A nuestro parecer, es preciso dejar una distancia de 0,20 metro entre las estremidades de los ejes, i 0,75 metro entre las estremidades de los ejes i cada baranda. Un puente de doble vía es jeneralmente bastante largo i supone un tráfico

intenso. La circulacion tiene, pues, que ser mas fácil que en los casos ordinarios. Esto justifica el aumento de los espacios libres laterales hasta 0.75 metro. Segun estas indicaciones se ve que para los puentes de doble vía el ancho libre entre las vigas será de 8 metros.

CUADRO NÚM. 1

22.—Cargas uniformes equivalentes para los momentos máximos en la mitad del tramo

CARRETA DE 16 TONELADAS



$$\hat{p} = \frac{l}{a} \left\{ P_{\leq n} - \frac{\sum a_n P_n}{a} \right\}$$

| I Metros | a _n | | P _n Toneladas | ΣP _n Toneladas | a _n P _n Tonelámetros | Σa _n P _n Tonelámetros | p̂ Kilogramos |
|-------------|---------------------|-------------------|-----------------------------|------------------------------|---|--|------------------|
| | IZQUIERDO Metros | DERECHO Metros | | | | | |
| 0,00 | 0,00 | 0,00 | 5,000 | 5,000 | 0,000 | 0,000 | ∞ k. |
| 4,00 | ... | ... | ... | ... | ... | ... | 2,500,0 |
| 6,00 | ... | 3,00 | 3,000 | 8,000 | 9,000 | 9,000 | 1,666,6 |
| 8,00 | 4,00 | ... | 0,800 | 8,800 | 3,200 | 12,200 | 1,437,5 |
| 11,00 | ... | 5,50 | 0,800 | 9,600 | 4,400 | 16,600 | 1,196,4 |
| 14,00 | 7,00 | ... | 0,800 | 10,400 | 5,600 | 22,200 | 1,032,7 |
| 17,00 | ... | 8,50 | 0,800 | 11,200 | 6,800 | 29,000 | 915,3 |
| 20,00 | 10,00 | ... | 0,800 | 12,000 | 8,000 | 37,000 | 830,0 |
| 23,00 | ... | 11,50 | 0,800 | 12,800 | 9,200 | 46,200 | 763,7 |
| 26,00 | 13,00 | ... | 0,800 | 13,600 | 10,400 | 56,600 | 711,3 |
| 29,00 | ... | 14,50 | 0,800 | 14,400 | 11,600 | 68,200 | 668,7 |
| 31,00 | 15,50 | ... | 3,000 | 17,400 | 46,500 | 114,700 | 645,2 |
| 37,00 | 18,50 | 18,50 | 10,000 | 27,400 | 185,000 | 299,700 | 605,4 |

CUADRO NÚM. 2

23.—Cargas uniformes equivalentes para los momentos máximos en la mitad del tramo

CARRETA DE 11 TONELADAS

| | | | | | | | | |
|------------------|------------------|------------------|------------------|-------------------|------------------|------------------|------------------|------------------|
| m. | m. | m. | m. | + | 4.20 | 7.20 | 10.20 | 13.20 |
| 14.30 | 11.30 | 8.30 | 5.30 | | | | | |
| m. | m. | m. | m. | m. | m. | m. | m. | |
| 3.00 | 3.00 | 3.00 | 5.30 | 4.20 | 3.00 | 3.00 | 3.00 | |
| 800 ^k | 800 ^k | 800 ^k | 800 ^k | | 800 ^k | 800 ^k | 800 ^k | 800 ^k |
| | | | | 5500 ^k | | | | |

$$p = \frac{1}{a} \left\{ \sum P_n - \frac{\sum a_n P_n}{a} \right\}$$

| $l = 2a$ | a_n | | P_n | $\sum P_n$ | $a_n P_n$ | $\sum a_n P_n$ | P |
|------------|------------|------------|--------------|-------------|--------------|----------------|----------------|
| | IZQUIERDO | DERECHO | | | | | |
| 1 | 2 | 3 | 4 | 5 | 6 | 7 | 8 |
| Metros | Metros | Metros | Toneladas | Toneladas | Tonelámetros | Tonelámetros | Kilogramos |
| m. 0,00 | m. 0,00 | m. 0,00 | t. 5,5000 | t. 5,500 | tm. 0,000 | tm. 0,000 | ∞ k. |
| 8,40 | | 4,20 | 0,800 | 6,300 | 3,360 | 3,360 | 1.309,5 |
| 10,00 | ... | ... | ... | 6,300 | ... | 3,360 | 1.125,6 |
| 10,60 | 5,30 | | 0,800 | 7,100 | 4,240 | 7,600 | 1.069,4 |
| 12,00 | ... | ... | ... | 7,100 | ... | 7,600 | 972,3 |
| 14,00 | ... | ... | ... | 7,100 | ... | 7,600 | 859,2 |
| 14,40 | ... | 7,20 | 0,800 | 7,900 | 5,760 | 13,360 | 839,5 |
| 16,00 | ... | ... | ... | 7,900 | ... | 13,360 | 778,75 |
| 16,60 | 8,30 | | 0,800 | 8,700 | 6,640 | 20,000 | 758,0 |
| 18,00 | ... | ... | ... | 8,700 | ... | 20,000 | 719,75 |
| 20,00 | ... | ... | ... | 8,700 | ... | 20,000 | 670,0 |
| 20,40 | ... | 10,20 | 0,800 | 9,500 | 8,160 | 28,160 | 660,8 |

CUADRO NÚM. 3

24.—Cargas uniformes equivalentes para los momentos máximos en la mitad del tramo

CARRETA DE 8 TONELADAS

| | | | | | | | | |
|-------|-------|------|------|---|-------|------|------|-------|
| m. | m. | m. | m. | + | m. | m. | m. | m. |
| 14.50 | 10.80 | 7.80 | 4.80 | | 3.70 | 6.70 | 9.70 | 14.50 |
| m. | m. | m. | m. | | m. | m. | m. | |
| 3.70 | 3.00 | 3.00 | 4.80 | | 3.70 | 3.00 | 3.00 | 4.80 |
| 800k | 800k | 800k | | | 800k | 800k | 800k | |
| 4000k | | | | | 4000k | | | 4000k |

$$p = \frac{I}{a} \left\{ \leq P_n - \frac{\leq a_n P_n}{a} \right\}$$

| $l = 2a$ | a_n | | P_n | $\leq P_n$ | $a_n P_n$ | $\leq a_n P_n$ | p |
|------------|------------|------------|-------------|-------------|--------------|----------------|----------------------|
| — | IZQUIERDO | DERECHO | — | — | — | — | — |
| I | 2 | 3 | 4 | 5 | 6 | 7 | 8 |
| Metros | Metros | Metros | Toneladas | Toneladas | Tonelámetros | Tonelámetros | Kilogramos |
| m. 0,00 | m. 0,00 | m. 0,00 | t. 4,000 | t. 4,000 | tm. 0,000 | tm. 0,000 | ∞ |
| 7,40 | | 3,70 | 0,800 | 4,800 | 2,960 | 2,960 | 1.081,0 ^k |
| 9,60 | 4,80 | | 0,800 | 5,600 | 3,840 | 6,800 | 871,5 |
| 13,40 | | 6,70 | 0,800 | 6,400 | 5,360 | 12,160 | 684,3 |
| 15,60 | 7,80 | | 0,800 | 7,200 | 6,240 | 18,400 | 620,6 |
| 19,40 | | 9,70 | 0,800 | 8,000 | 7,760 | 26,160 | 546,7 |
| 21,60 | 10,80 | | 0,800 | 8,800 | 8,640 | 34,800 | 516,5 |
| 29,00 | 14,50 | 14,50 | 8,000 | 16,800 | 116,000 | 150,800 | 441,3 |

CUADRO NÚM. 4

25.—Cargas uniformes equivalentes para los momentos máximos en la mitad del tramo

CARRETA DE 6 TONELADAS

| | | | | | | | | |
|-------|-------|------|------|-------|------|------|------|-------|
| m. | m. | m. | m. | | m. | m. | m. | m. |
| 13.50 | 10.20 | 7.20 | 4.20 | + | 3.30 | 6.30 | 9.30 | 13.50 |
| m. | m. | m. | m. | m. | m. | m. | m. | |
| 3.30 | 3.00 | 3.00 | 4.20 | 3.30 | 3.00 | 3.00 | 4.20 | |
| 800k | 800k | 800k | | 800k | 800k | 800k | | |
| 3000k | | | | 3000k | | | | 3000k |

$$p = \frac{I}{a} \left\{ \sum P_n - \frac{\sum a_n P_n}{a} \right\}$$

| <i>l</i> = 2 <i>a</i> | <i>a_n</i> | | <i>P_n</i> | ∑ <i>P_n</i> | <i>a_n P_n</i> | ∑ <i>a_n P_n</i> | <i>p</i> |
|-----------------------|----------------------|------------|----------------------|------------------------|------------------------------------|--------------------------------------|------------|
| | IZQUIERDO | DERECHO | | | | | |
| I | 2 | 3 | 4 | 5 | 6 | 7 | 8 |
| Metros | Metros | Metros | Toneladas | Toneladas | Tonelámetros | Tonelámetros | Kilógramos |
| m. 0,00 | m. 0,00 | m. 0,00 | t. 3,000 | t. 3,000 | tm. 0,000 | tm. 0,000 | ∞ |
| 6,60 | | 3,30 | 0,800 | 3,800 | 2,640 | 2,640 | k 909,0 |
| 8,40 | 4,20 | | 0,800 | 4,600 | 3,360 | 6,000 | 754,8 |
| 12,60 | | 6,30 | 0,800 | 5,400 | 5,640 | 11,040 | 579,0 |
| 14,40 | 7,20 | | 0,800 | 6,200 | 5,760 | 16,800 | 537,0 |
| 18,60 | | 9,30 | 0,800 | 7,000 | 7,440 | 24,240 | 472,4 |
| 20,40 | 10,20 | | 0,800 | 7,800 | 8,160 | 32,400 | 453,3 |
| 27,00 | 13,50 | 13,50 | 6,000 | 13,800 | 81,000 | 113,400 | 400,0 |

CUADRO NÚM. 5

26.—Cargas uniformes equivalentes para los momentos máximos en la mitad del tramo

CARRETA DE 3 TONELADAS

| | | | | | | | | |
|-------|-------|-------|------|---|-------|------|-------|-------|
| m. | m. | m. | m. | + | m. | m. | m. | m. |
| 14.70 | 10.50 | 7.20 | 4.20 | | 3.30 | 6.30 | 10.50 | 13.80 |
| 4.20 | 3.30 | 3.00 | 4.20 | | 3.20 | 3.00 | 4.20 | 3.30 |
| 800k | | 800k | 800k | | 800k | 800k | | 800k |
| | | 1500k | | | 1500k | | 1500k | |

$$p = \frac{r}{a} \left\{ \sum P_n - \frac{\sum a_n P_n}{a} \right\}$$

| <i>l</i> = 2 <i>a</i> | <i>a</i> _n | | <i>P</i> _n | ∑ <i>P</i> _n | <i>a</i> _n <i>P</i> _n | ∑ <i>a</i> _n <i>P</i> _n | <i>p</i> |
|-----------------------|-----------------------|------------|-----------------------|-------------------------|---|---|------------|
| | IZQUIERDO | DERECHO | | | | | |
| I | 2 | 3 | 4 | 5 | 6 | 7 | 8 |
| Metros | Metros | Metros | Toneladas | Toneladas | Tonelámetros | Tonelámetros | Kilogramos |
| m. 0,00 | m. 0,00 | m. 0,00 | t. 1,500 | t. 1,500 | tm. 0,000 | tm. 0,000 | ∞ |
| 6,60 | | 3,30 | 0,800 | 2,300 | 2,640 | 2,640 | k 454,5 |
| 8,40 | 4,20 | | 0,800 | 3,100 | 3,360 | 6,000 | 398,0 |
| 12,60 | | 6,30 | 0,800 | 3,900 | 5,040 | 11,040 | 340,9 |
| 14,40 | 7,20 | | 0,800 | 4,700 | 5,760 | 16,800 | 328,7 |
| 21,00 | 10,50 | 10,50 | 3,000 | 7,700 | 31,500 | 48,300 | 295,2 |

CUADRO NÚM. 6

27.—Cargas uniformes equivalentes para los momentos máximos en la 1/3 parte del tramo

CARRETA DE 16 TONELADAS

| | | | | | | | | | | | |
|-------|-------|-------|-------|-------|------|------|------|-------|-------|------|-------|
| m. | m. | m. | m. | m. | m. | m. | m. | m. | m. | m. | m. |
| 24.00 | 21.50 | 18.50 | 14.50 | 11.50 | 8.50 | 5.50 | 3.00 | + | 4.00 | 7.00 | 10.00 |
| m. | m. | m. | m. | m. | m. | m. | m. | m. | m. | m. | m. |
| 2.50 | 3.00 | 4.00 | 3.00 | 3.00 | 3.00 | 2.50 | 3.00 | 4.00 | 3.00 | 3.00 | |
| 800k | 3000k | | 800k | 800k | 800k | 800k | | | 800k | 800k | 800k |
| | | | 5000k | | | | | 3000k | 5000k | | |

$$p'' = \frac{I}{a} \left\{ \leq P_n - \frac{6}{10} \frac{I}{a} \left(5 \leq P'_n a'_n + \leq P''_n a''_n \right) \right\}$$

| <i>l</i> | <i>a''_n</i> | <i>5a'_n</i> | <i>a</i> | <i>P_n</i> | $\leq P_n$ | <i>a''_n P''_n o'</i> | $\leq a''_n P'_n +$ | $\frac{6}{10} \left\{ \leq a''_n P''_n + \right.$ | <i>p''</i> |
|----------|------------------------|------------------------|----------|----------------------|------------|---|---------------------|---|------------|
| — | — | — | — | — | — | <i>5a'_n P'_n</i> | $5 \leq a'_n P'_n$ | $\left. 5 \leq a'_n P'_n \right.$ | — |
| I | 2 | 3 | 4 | 5 | 6 | 7 | 8 | 9 | 10 |
| Metros | Metros | Metros | Metros | Tonels. | Tonels. | Tonelámetros | Tonelámetros | Tonelámetros | Kilég. |
| m. | m. | m. | m. | t. | t. | tm. | tm. | tm. | ∞ |
| 0,00 | 0,00 | 0,00 | 0,00 | 5,000 | 5,000 | 0,000 | 0,000 | 0,000 | k. |
| 3,60 | 3,00 | | 1,80 | 3,000 | 8,000 | 9,000 | 9,000 | 5,400 | 2777,7 |
| 6,60 | 5,50 | | 3,30 | 0,800 | 8,800 | 4,400 | 13,400 | 8,040 | 1928,5 |
| 10,20 | 8,50 | | 5,10 | 0,800 | 9,600 | 6,800 | 20,200 | 12,120 | 1416,3 |
| 13,80 | 11,50 | | 6,90 | 0,800 | 10,400 | 9,200 | 29,400 | 17,640 | 1136,6 |
| 17,40 | 14,50 | | 8,70 | 0,800 | 11,200 | 11,600 | 41,000 | 24,600 | 962,3 |
| 22,20 | 18,50 | | 11,10 | 5,000 | 16,200 | 92,500 | 133,500 | 80,100 | 809,3 |
| 24,00 | | 20,00 | 12,00 | 0,800 | 17,000 | 16,000 | 149,500 | 89,700 | 793,7 |
| 25,80 | 21,50 | | 12,90 | 3,000 | 20,000 | 64,500 | 214,000 | 128,400 | 778,8 |
| 28,80 | 24,00 | | 14,40 | 0,800 | 20,800 | 19,200 | 233,200 | 139,920 | 769,6 |
| 32,40 | 27,00 | | 16,20 | 0,800 | 21,600 | 21,600 | 254,800 | 152,882 | 750,8 |
| 36,00 | 30,00 | | 18,00 | 0,800 | 22,400 | 24,000 | 278,800 | 167,280 | 728,2 |
| 39,60 | 33,00 | | 19,80 | 0,800 | 23,200 | 26,400 | 305,200 | 183,120 | 704,6 |
| 40,00 | | 35,00 | 20,00 | 0,800 | 24,000 | 28,000 | 333,200 | 199,920 | 700,2 |
| 44,40 | 37,00 | | 22,20 | 5,000 | 29,000 | 18,5000 | 518,200 | 310,920 | 675,4 |
| 48,00 | 40,00 | | 24,00 | 3,000 | 32,000 | 120,000 | 638,200 | 382,920 | 668,5 |

CUADRO NÚM. 7

28.—Cargas uniformes equivalentes para los momentos máximos en la 1/6 parte del tramo

CARRETA DE 11 TONELADAS

| | | | | | | | | | |
|-------|-------|-------|-------|-------|-------|------|------|------|------|
| m. | m. | m. | m. | m. | m. | m. | m. | m. | m. |
| 28.70 | 25.70 | 22.70 | 18.50 | 13.20 | 10.20 | 7.20 | 4.20 | + | 5.30 |
| m. | m. | m. | m. | m. | m. | m. | m. | m. | m. |
| 3.00 | 3.00 | 4.20 | 5.30 | 3.00 | 3.00 | 3.00 | 4.20 | 5.30 | |
| 800k | 800k | 800k | | 800k | 800k | 800k | 800k | | 800k |
| | | | 5500 | | | | 5500 | | |

$$p'' = \frac{I}{a} \left\{ \leq P_n - \frac{6}{10} \frac{I}{a} \left(5 \leq P'_n a'_n + \leq P''_n a''_n \right) \right\}$$

| | a''_n | $5a'_n$ | a | P_n | $\leq P_n$ | $a_n'' P_n''$ | $5 \leq a'_n P'_n$ | $\leq a''_n P''_n + 5 \leq a'_n P'_n$ | $\frac{6}{10} \left(\leq a''_n P''_n + 5 \leq a'_n P'_n \right)$ | p'' |
|------|---------|---------|--------|---------|------------|---------------|--------------------|---------------------------------------|---|----------|
| | 2 | 3 | 4 | 5 | 6 | 7 | 8 | 9 | 10 | |
| Met. | Metros | Metros | Metros | Tonels. | Tonels. | Tonelámetros | Tonelámetros | Tonelámetros | Tonelámetros | Kilóg. |
| m. | m. | m. | m. | t. | t. | tm. | tm. | tm. | | ∞ |
| 0, | 0,00 | 0,00 | 0,00 | 5,500 | 5,500 | 0,000 | 0,000 | 0,000 | | k |
| 5, | 4,20 | | 2,52 | 0,800 | 6,300 | 3,360 | 3,360 | 2,016 | | 2182,5 |
| 8, | 7,20 | | 4,32 | 0,800 | 7,100 | 5,760 | 9,120 | 5,472 | | 1350,4 |
| 2, | 10,20 | | 6,12 | 0,800 | 7,900 | 8,160 | 17,280 | 10,368 | | 1014,0 |
| 5, | 13,20 | | 7,92 | 0,800 | 8,700 | 10,560 | 27,840 | 16,704 | | 832,2 |
| 2, | 18,50 | | 11,10 | 5,500 | 14,200 | 101,750 | 129,590 | 77,754 | | 648,3 |
| 7, | 22,70 | | 13,62 | 0,800 | 15,000 | 18,160 | 147,750 | 88,650 | | 623,4 |
| 0, | 25,70 | | 15,42 | 0,800 | 15,800 | 20,560 | 168,310 | 100,986 | | 600,0 |
| 1, | 26,50 | 26,50 | 15,90 | 0,800 | 16,600 | 21,200 | 189,510 | 113,706 | | 594,2 |
| 4, | 28,70 | | 17,22 | 0,800 | 17,400 | 22,960 | 212,470 | 127,482 | | 580,5 |

CUADRO NÚM. 8

29—Cargas uniformes equivalentes para los momentos máximos en $\frac{1}{6}$ parte del tramo

CARRETA DE 8 TONELADAS

| | | | | | | | | |
|-------|-------|-------|-------|------|------|------|----|-------|
| m. | m. | m. | m. | m. | m. | m. | m. | m. |
| 24.20 | 21.20 | 18.20 | 14.50 | 9.70 | 6.70 | 3.70 | + | 4.80 |
| m. | m. | m. | m. | m. | m. | m. | m. | m. |
| 3.00 | 3.00 | 3.70 | 4.80 | 3.00 | 3.00 | 3.70 | | 4.80 |
| 800k | 800k | 800k | | 800k | 800k | 800k | | 800k |
| | | | 4000k | | | | | 4000k |

$$p'' = \frac{1}{a} \left\{ \leq P_n - \frac{6}{10} \frac{1}{a} \left(5 \leq P'_n a'_n + \leq P''_n a''_n \right) \right\}$$

| $l=2a$ | a''_n | $5a'_n$ | a | P_n | $\leq P_n$ | $a'' P''$ $5a'_n P'_n$ | $\leq a'' P'' +$ $5 \leq a'_n P'_n$ | $\left. \begin{matrix} \leq a''_n P''_n \\ 5 \leq a'_n P'_n \end{matrix} \right\}$ |
|------------|------------|------------|------------|-------------|-------------|---------------------------|--|--|
| 1 | 2 | 3 | 4 | 5 | 6 | 7 | 8 | 9 |
| Metros | Metros | Metros | Metros | Tonels. | Tonels. | Tonelámetros | Tonelámetros | Tonelámetros |
| m. 0,00 | m. 0,00 | m. 0,00 | m. 0,00 | t. 4,000 | t. 4,000 | tm. 0,000 | tm. 0,000 | tm. 0,000 |
| 4,44 | 3,70 | | 2,22 | 0,800 | 4,800 | 2,960 | 2,960 | 1,776 |
| 8,04 | 6,70 | | 4,02 | 0,800 | 5,600 | 5,360 | 8,320 | 4,992 |
| 11,64 | 9,70 | | 5,82 | 0,800 | 6,400 | 7,760 | 16,080 | 9,648 |
| 17,40 | 14,50 | | 8,70 | 4,000 | 10,400 | 58,000 | 74,080 | 44,448 |
| 21,84 | 18,20 | | 10,92 | 0,800 | 11,200 | 14,560 | 88,640 | 53,184 |
| 25,44 | 21,20 | | 12,72 | 0,800 | 12,000 | 16,960 | 105,600 | 63,360 |

CUADRO NÚM. 9

30.—Cargas uniformes equivalentes para los momentos máximos en la 1/4 parte del tramo

CARRETA DE 6 TONELADAS

| | | | | | | | | | |
|-------|-------|-------|-------|-------|------|-------|------|------|------|
| m. | m. | m. | m. | m. | m. | m. | m. | m. | m. |
| 27.00 | 22.80 | 19.80 | 16.80 | 13.50 | 9.30 | 6.30 | 3.30 | + | 4.20 |
| m. | m. | m. | m. | m. | m. | m. | m. | m. | m. |
| 4.20 | 3.00 | 3.00 | 3.30 | 4.20 | 3.00 | 3.00 | 3.30 | 4.20 | |
| 800k | | | 800k | | | 800k | | | 800k |
| 3000k | | | 3000k | | | 3000k | | | |

$$p'' = \frac{1}{a} \left\{ \sum P_n - \frac{6}{10} \frac{1}{a} \left(5 \sum P'_n a'_n + \sum P''_n a''_n \right) \right\}$$

| 2a | a'' _n | 5'a _n | a | P _n | ∑P _n | a _n '' P _n '' o' 5a' _n P' _n | ∑a _n '' P _n '' + 5∑a' _n P' _n | $\frac{6}{10} \left\{ \begin{array}{l} \sum a''_n P''_n \\ \sum 5a'_n P'_n \end{array} \right\}$ | p'' |
|--------|------------------|------------------|---------|----------------|-----------------|---|---|--|-----------|
| 2 | 3 | 4 | 5 | 6 | 7 | 8 | 9 | 10 | |
| Metros | Metros | Metros | Tonels. | Tonels. | Tonelametros | Tonelametros | Tonelametros | Kilóg. | |
| 00 | m. 0,00 | m. 0,00 | m. 0,00 | t. 3,000 | t. 3,000 | tm. 0,000 | tm. 0,000 | tm. 0,000 | ∞ |
| 96 | 3,30 | | 1,98 | 0,800 | 3,800 | 2,640 | 2,640 | 1,584 | 1515,1 k. |
| 56 | 6,30 | | 3,78 | 0,800 | 4,600 | 5,040 | 7,680 | 4,608 | 894,4 |
| 16 | 9,30 | | 5,58 | 0,800 | 5,400 | 7,440 | 15,120 | 9,072 | 676,5 |
| 20 | 13,50 | | 8,10 | 3,000 | 8,400 | 40,500 | 55,620 | 33,372 | 528,4 |
| 216 | 16,80 | | 10,08 | 0,800 | 9,200 | 13,440 | 69,060 | 41,436 | 504,9 |
| 276 | 19,80 | | 11,88 | 0,800 | 10,000 | 15,840 | 84,900 | 50,940 | 489,8 |

CUADRO NÚM. 10

31.—Cargas uniformes equivalentes para los momentos máximos en la 1/3 parte del tramo

CARRETA DE 3 TONELADAS

| | | | | | | | | |
|-------|-------|-------|-------|-------|------|-------|------|------|
| m. | m. | m. | m. | m. | m. | m. | m. | m. |
| 24.30 | 21.00 | 16.80 | 13.80 | 10.50 | 6.30 | 3.30 | + | 4.20 |
| m. | m. | m. | m. | m. | m. | m. | m. | m. |
| 3.00 | 3.30 | 4.20 | 3.00 | 3.30 | 4.20 | 3.00 | 3.30 | 4.20 |
| 800k | 800k | 800k | 800k | 800k | 800k | 800k | | 800k |
| | | 1500k | | 1500k | | 1500k | | |

$$p'' = \frac{I}{a} \left\{ \sum P_n - \frac{I}{10} \frac{I}{a} \left(5 \sum P'_n a'_n + \sum P''_n a''_n \right) \right\}$$

| $l=2a$ | a''_n | $5a'_n$ | a | P_n | $\sum P_n$ | $a''_n P''_n$ $5a'_n P'_n$ | $\sum a''_n P''_n +$ $5 \sum a'_n P'_n$ | $\frac{6}{10} \left\{ \sum a''_n P''_n + \right.$ $\left. 5 \sum a'_n P'_n \right\}$ | p'' |
|------------|------------|------------|------------|-------------|-------------|-------------------------------|--|---|-------|
| 1 | 2 | 3 | 4 | 5 | 6 | 7 | 8 | 9 | 10 |
| Metros | Metros | Metros | Metros | Tonels. | Tonels. | Tonelámetros | Tonelámetros | Tonelámetros | Kilo |
| m. 0,00 | m. 0,00 | m. 0,00 | m. 0,00 | t. 1,500 | t. 1,500 | tm. 0,000 | tm. 0,000 | tm. 0,000 | ∞ |
| 3,96 | 3,30 | | 1,98 | 0,800 | 2,300 | 2,640 | 2,640 | 1,584 | 75 |
| 7,56 | 6,30 | | 3,78 | 0,800 | 3,100 | 5,040 | 7,680 | 4,608 | 49 |
| 12,60 | 10,50 | | 6,30 | 1,500 | 4,600 | 15,750 | 23,430 | 14,058 | 37 |
| 16,56 | 13,80 | | 8,28 | 0,800 | 5,400 | 11,040 | 34,470 | 20,682 | 35 |

CUADRO NÚM. 11

32.—Cargas uniformes equivalentes para el cálculo de los montantes i las diagonales

CARRETA DE 16 TONELADAS

| | | | | | | | | | | | | | | | |
|-------|-------|-------|-------|-------|-------|-------|-------|-------|-------|------|------|------|-------|-------|----|
| m. | m. | m | m. | m | m. | m. | m. | m. | m. | m. | m. | m. | m. | m. | m. |
| 40.00 | 37.00 | 33.00 | 30.00 | 27.00 | 24.00 | 21.50 | 18.50 | 11.50 | 11.50 | 8.50 | 5.50 | 5.00 | 5.00 | 3.00 | 0 |
| | m. | m. | m. | m. | m. | m. | m. | m. | m. | m. | m. | m. | m. | m. | m. |
| | 3.00 | 4.00 | 3.00 | 3.00 | 3.00 | 2.50 | 3.00 | 4.00 | 3.00 | 3.00 | 3.00 | 3.00 | 2.50 | 3.00 | |
| | | | 800k | 800k | 800k | 800k | | | 800k | 800k | 800k | 800k | | | |
| 3000k | 5000k | | | | | 3000k | 5000k | | | | | | 3000k | 5000k | |

$$p = \frac{2}{l'} \left\{ \sum P_n - \frac{\sum l_n P_n}{l'} \right\}$$

| <i>l</i> o' <i>l'</i> | <i>P_n</i> | $\sum P_n$ | <i>l_n P_n</i> | $\sum l_n P_n$ | <i>p'</i> |
|-----------------------|----------------------|------------|------------------------------------|----------------|------------|
| I | 2 | 3 | 4 | 5 | 6 |
| Metros | Toneladas | Toneladas | Tonelámetros | Tonelámetros | Kilógramos |
| m. | t. | t. | tm. | tm. | ∞ |
| 0,00 | 5,000 | 5,000 | 0,000 | 0,000 | k |
| 3,00 | 3,000 | 8,000 | 9,000 | 9,000 | 3333,3 |
| 5,50 | 0,800 | 8,800 | 4,400 | 13,400 | 2314,2 |
| 8,50 | 0,800 | 9,600 | 6,800 | 20,200 | 1699,4 |
| 11,50 | 0,800 | 10,400 | 9,200 | 29,400 | 1364,2 |
| 14,50 | 0,800 | 11,200 | 11,600 | 41,000 | 1154,8 |
| 18,50 | 5,000 | 16,200 | 92,500 | 133,500 | 971,2 |
| 21,50 | 3,000 | 19,200 | 64,500 | 198,000 | 929,4 |
| 24,00 | 0,800 | 20,000 | 19,200 | 217,200 | 912,5 |
| 27,00 | 0,800 | 20,800 | 21,600 | 238,800 | 885,7 |
| 30,00 | 0,800 | 21,600 | 24,000 | 262,800 | 856,0 |
| 33,00 | 0,800 | 22,400 | 26,400 | 289,200 | 826,5 |
| 37,00 | 5,000 | 27,400 | 185,000 | 474,200 | 788,7 |
| 40,00 | 3,000 | 30,400 | 120,000 | 594,200 | 777,25 |

CUADRO NÚM. 12

33.—Cargas uniformes equivalentes para el cálculo de los montantes i diagonales

CARRETA DE 11 TONELADAS

| | | | | | | | | | | |
|-------|-------|-------|-------|-------|-------|-------|-------|-------|------|----|
| m. | m. | m. | m. | m. | m. | m. | m. | m. | m. | m. |
| 37.00 | 31.70 | 28.70 | 25.70 | 22.70 | 18.50 | 13.20 | 10.20 | 7.20 | 4.20 | 0 |
| m. | m. | m. | m. | m. | m. | m. | m. | m. | m. | |
| 5.30 | 3.00 | 3.00 | 3.00 | 4.20 | 5.30 | 3.00 | 3.00 | 3.00 | 4.20 | |
| 800k | 800k | 800k | 800k | 800k | 800k | 800k | 800k | 800k | 800k | |
| 5500k | | | | 5500k | | | | 5500k | | |

$$p' = \frac{2}{l'} \left\{ \leq P_n - \frac{\leq l_n P_n}{l'} \right\}$$

| $l_n = l'$ | P_n | $\leq P_n$ | $l_n P_n$ | $\leq l_n P_n$ | p' |
|------------|-----------|------------|--------------|----------------|--------------------|
| I | 2 | 3 | 4 | 5 | 6 |
| Metros | Toneladas | Toneladas | Tonelámetros | Tonelámetros | Kilogramos |
| m. | t. | t. | tm. | tm. | |
| 0,00 | 5,500 | 5,500 | 0,000 | 0,000 | ∞ |
| 4,20 | 0,800 | 6,300 | 3,360 | 3,360 | $\frac{k}{2619,0}$ |
| 7,20 | 0,800 | 7,100 | 5,760 | 9,120 | 1620,5 |
| 10,20 | 0,800 | 7,900 | 8,160 | 17,280 | 1216,8 |
| 13,20 | 0,800 | 8,700 | 10,560 | 27,840 | 998,6 |
| 18,50 | 5,500 | 14,200 | 101,750 | 129,590 | 777,8 |
| 22,70 | 0,800 | 15,000 | 18,160 | 147,750 | 748,1 |
| 25,70 | 0,800 | 15,800 | 20,560 | 168,310 | 719,9 |
| 28,70 | 0,800 | 16,600 | 22,900 | 191,270 | 692,4 |
| 31,70 | 0,800 | 17,400 | 25,360 | 216,630 | 666,6 |
| 37,00 | 5,500 | 22,900 | 203,500 | 420,130 | 624,1 |

CUADRO NÚN. 13

34.—Cargas uniformes equivalentes para el cálculo de los montantes i diagonales

CARRETA DE 8 TONELADAS

| | | | | | | | | | | |
|-------|-------|-------|-------|-------|-------|------|------|------|----|-------|
| m. | m. | m. | m. | m. | m. | m. | m. | m. | m. | o |
| 32.70 | 29.00 | 24.20 | 21.20 | 18.20 | 14.50 | 9.70 | 6.70 | 3.70 | | |
| m. | m. | m. | m. | m. | m. | m. | m. | m. | m. | |
| 3.70 | 4.80 | 3.00 | 3.00 | 3.70 | 4.80 | 3.00 | 3.00 | 3.70 | | |
| 800k | | 800k | 800k | 800k | | 800k | 800k | 800k | | |
| | 4000k | | | | 4000k | | | | | 4000k |

$$p' = \frac{2}{l'} \left\{ \sum P_n - \frac{\sum l_n P_n}{l'} \right\}$$

| $l_n = l'$ | P_n | $\sum P_n$ | $l_n P_n$ | $\sum l_n P_n$ | p' |
|------------|-------------|-------------|--------------|----------------|---------------|
| — | — | — | — | — | — |
| Metros | Toneladas | Toneladas | Tonelámetros | Tonelámetros | Kilógramos |
| m. 0,00 | t. 4,000 | t. 4,000 | tm. 0,000 | tm. 0,000 | ∞ |
| 3,70 | 0,800 | 4,800 | 2,960 | 2,960 | k. 2.162,1 |
| 6,70 | 0,800 | 5,600 | 5,360 | 8,320 | 1.300,9 |
| 9,70 | 0,800 | 6,400 | 7,760 | 16,080 | 977,8 |
| 14,50 | 4,000 | 10,400 | 58,000 | 74,080 | 729,8 |
| 18,20 | 0,800 | 11,200 | 14,560 | 88,640 | 695,6 |
| 21,20 | 0,800 | 12,000 | 16,960 | 105,600 | 662,1 |
| 24,20 | 0,800 | 12,800 | 19,360 | 124,960 | 631,1 |
| 29,00 | 4,000 | 16,800 | 116,000 | 240,960 | 585,6 |

CUADRO NÚM. 14

35.—Cargas uniformes equivalentes para el cálculo de los montantes i diagonales

CARRETAS DE 6 TONELADAS

| | | | | | | | | | |
|-------|-------|-------|-------|-------|-------|------|------|------|-------|
| m. | m. | m. | m. | m. | m. | m. | m. | m. | o |
| 27.00 | 22.80 | 19.80 | 16.80 | 13.50 | 9.30 | 6.30 | 3.30 | | |
| | m. | m. | m. | m. | m. | m. | m. | m. | |
| | 4.20 | 3.00 | 3.00 | 3.30 | 4.20 | 3.00 | 3.00 | 3.30 | |
| | | 800k | 800k | 800k | | 800k | 800k | 800k | |
| | 3000k | | | | 3000k | | | | 3000k |

$$p' = \frac{2}{l'} \left\{ \sum P_n - \frac{\sum l_n P_n}{l'} \right\}$$

| $l_n = l'$ | P_n | $\sum P_n$ | $l_n P_n$ | $\sum l_n P_n$ | p' |
|------------|-------------|-------------|--------------|----------------|-----------------------|
| — | — | — | — | — | — |
| I | 2 | 3 | 4 | 5 | 6 |
| Metros | Toneladas | Toneladas | Tonelámetros | Tonelámetros | Kilogramos |
| m. 0,00 | t. 3,000 | t. 3,000 | tm. 0,000 | tm. 0,000 | ∞ _k |
| 3,30 | 0,800 | 3,800 | 2,640 | 2,640 | 1818,2 |
| 6,30 | 0,800 | 4,600 | 5,040 | 7,680 | 1073,3 |
| 9,30 | 0,800 | 5,400 | 7,440 | 15,120 | 811,3 |
| 13,50 | 3,000 | 8,400 | 40,500 | 55,620 | 634,0 |
| 16,80 | 0,800 | 9,200 | 13,440 | 69,060 | 605,9 |
| 19,80 | 0,800 | 10,000 | 15,840 | 84,900 | 577,0 |
| 22,80 | 0,800 | 10,800 | 18,240 | 103,140 | 550,6 |
| 27,00 | 3,000 | 13,800 | 81,000 | 184,140 | 517,0 |

CUADRO NÚM. 15

36.—Cargas uniformes equivalentes para el cálculo de los montantes i diagonales

CARRETA DE 3 TONELADAS

| | | | | | | | | |
|-------|-------|-------|-------|-------|-------|------|------|-------|
| m. | m. | m. | m. | m. | m. | m. | m. | o |
| 27.30 | 24.30 | 21.60 | 16.80 | 13.80 | 10.50 | 6.30 | 3.30 | o |
| m. | m. | m. | m. | m. | m. | m. | m. | |
| 3.00 | 3.30 | 4.20 | 3.00 | 3.30 | 4.20 | 3.00 | 3.30 | |
| 800k | 800k | | 800k | 800k | | 800k | 800k | |
| | | 1500k | | | 1500k | | | 1500k |

$$p' = \frac{2}{l} \left\{ \geq P_n - \frac{\sum l_n P_n}{l'} \right\}$$

| $l_n = l'$ | P_n | $\sum P_n$ | $l_n P_n$ | $\sum l_n P_n$ | p' |
|------------|-------------|-------------|--------------|----------------|------------|
| — | — | — | — | — | — |
| Metros | Toneladas | Toneladas | Tonelámetros | Tonelámetros | Kilógramos |
| m. 0,00 | t. 1,500 | t. 1,500 | tm. 0,000 | tm. 0,000 | ∞ |
| 3,30 | 0,800 | 2,300 | 2,640 | 2,640 | k 909,1 |
| 6,30 | 0,800 | 3,100 | 5,040 | 7,680 | 597,1 |
| 10,50 | 1,500 | 4,600 | 15,750 | 23,430 | 451,2 |
| 13,80 | 0,800 | 5,400 | 11,040 | 34,470 | 420,7 |
| 16,80 | 0,800 | 6,200 | 13,440 | 47,910 | 398,5 |
| 21,00 | 1,500 | 7,700 | 31,500 | 79,410 | 373,2 |

CUADRO NÚM. 17

38. — Cuadro de las cargas uniformes p' valores de $\frac{1}{2}$ p' l'²

| Longitud sobrecargada | GARRETA DE 16 TONELADAS | | GARRETA DE 11 TONELADAS | | GARRETA DE 8 TONELADAS | | GARRETA DE 6 TONELADAS | | GARRETA DE 3 TONELADAS | | Observaciones |
|-----------------------|-------------------------|--------------------------------------|-------------------------|--------------------------------------|------------------------|--------------------------------------|------------------------|--------------------------------------|------------------------|--------------------------------------|--|
| | p' Kg. | $\frac{1}{2}$ p'l' ² Kgm. | p' Kg. | $\frac{1}{2}$ p'l' ² Kgm. | p' Kg. | $\frac{1}{2}$ p'l' ² Kgm. | p' Kg. | $\frac{1}{2}$ p'l' ² Kgm. | p' Kg. | $\frac{1}{2}$ p'l' ² Kgm. | |
| 4.00 | 5,852 | 46,816 | 5,590 | 44,000 | 4,152 | 33,216 | 3,289 | 26,312 | 1,073 | 13,384 | Para tener el esfuerzo de corte debido a una de las caras de prueba, para una longitud l' sobrecargada, basta dividir el valor correspondiente de $\frac{1}{2}$ p'l' ² por la longitud del tramo. |
| 5.00 | 5,037 | 62,962.5 | 4,706 | 58,825 | 3,578 | 49,725 | 2,793 | 29,826.5 | 1,465 | 18,312.5 | |
| 6.00 | 4,424 | 79,632 | 4,041 | 72,738 | 3,004 | 54,072 | 2,296 | 41,328 | 1,257 | 22,625 | |
| 7.00 | 4,014 | 98,343 | 3,375 | 82,687.5 | 2,538 | 62,181 | 2,025 | 49,612.5 | 1,146 | 38,077 | |
| 8.00 | 3,604 | 115,328 | 3,026 | 96,832 | 2,322 | 74,304 | 1,851 | 59,232 | 1,077 | 34,464 | |
| 9.00 | 3,288 | 113,164 | 2,811 | 113,815.5 | 2,107 | 85,335.5 | 1,677 | 67,918.5 | 1,007 | 40,753.5 | |
| 10.00 | 3,064 | 153,200 | 2,595 | 129,750 | 1,925 | 96,250 | 1,565 | 78,250 | 938 | 46,900 | |
| 11.00 | 2,840 | 171,820 | 2,318 | 146,239 | 1,822 | 110,231 | 1,480 | 89,540 | | | |
| 12.00 | 2,659 | 191,448 | 2,172 | 156,384 | 1,718 | 123,696 | 1,396 | 100,512 | | | |
| 13.00 | 2,519 | 212,855.5 | 2,027 | 171,281.5 | 1,615 | 136,467.5 | 1,311 | 110,779.5 | | | |
| 14.00 | 2,380 | 233,240 | 1,931 | 189,238 | 1,511 | 148,078 | 1,260 | 123,480 | | | |
| 15.00 | 2,264 | 254,700 | 1,848 | 207,900 | 1,451 | 163,237 | 1,243 | 139,837.5 | | | |
| 16.00 | 2,172 | 278,016 | 1,795 | 225,920 | 1,432 | 183,296 | 1,225 | 156,800 | | | |
| 17.00 | 2,081 | 300,704.5 | 1,681 | 242,904.5 | 1,414 | 204,323 | 1,208 | 174,556 | | | |
| 18.00 | 1,989 | 322,218 | 1,598 | 258,876 | 1,395 | 225,990 | 1,189 | 192,618 | | | |
| 19.00 | 1,929 | 348,184.5 | 1,549 | 279,594.5 | 1,374 | 248,007 | 1,170 | 211,185 | | | |
| 20.00 | 1,901 | 380,200 | 1,535 | 307,000 | 1,352 | 270,400 | 1,151 | 230,200 | | | |
| 25.00 | 1,807 | 564,687.5 | 1,432 | 453,750 | 1,247 | 389,687.5 | | | | | |
| 30.00 | 1,712 | 770,400 | 1,363 | 613,650 | | | | | | | |
| 35.00 | 1,616 | 989,800 | 1,281 | 784,612.5 | | | | | | | |
| 40.00 | 1,555 | 1,244,000 | | | | | | | | | |
| 45.00 | 1,494 | 1,512,675 | | | | | | | | | |
| 50.00 | 1,433 | 1,791,250 | | | | | | | | | |

GUILLERMO OTTEN
Ingeniero de Puentes i Calzadas de Bélgica,
contratado por el Gobierno de Chile

(Continuati)